

ポテンシャル逆問題の新たな設定と バブリング法による数値計算

守田龍平 今川真城 磯祐介

京都大学大学院情報学研究科先端数理科学専攻

ポテンシャルは観測量として有効では？

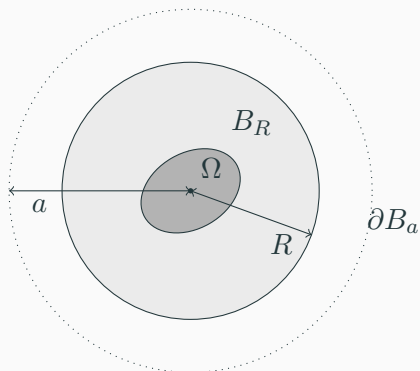


Figure 1: 惑星の二層モデルの人工衛星による推定

ポテンシャルの定義と性質

領域 $D \subset \mathbb{R}^3$ 上の密度関数 $\mu(x)$ に対し、ポテンシャルを定義する.

$$U^\mu(x) := \int_D E(x-y)\mu(y)dy, \quad x \in \mathbb{R}^3.$$

但し、 E は Laplace 方程式の基本解であり、

$$E(x) = \frac{1}{4\pi} \frac{1}{|x|}$$

である.

$\mu \in L_c^\infty$ のとき、ポテンシャル U^μ には次の性質がある.

- $x \in \mathbb{R}^3$ で連続
- (超関数の意味で) \overline{D}^c で調和

二層モデル

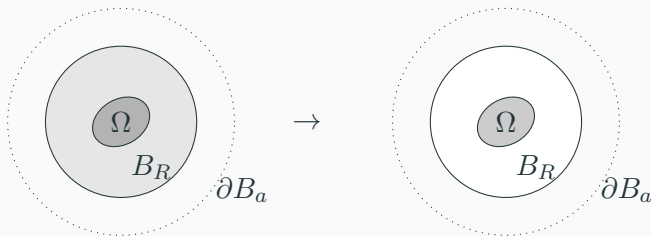
二層モデルを考える.

領域 $\Omega \subset B_R$ とする. 密度関数が $\mu_e = \mathbb{1}_{B_R} + \rho \mathbb{1}_{\Omega}$ とすると,
 ∂B_a 上で観測するポテンシャル U^{μ_e} は次の通り.

$$U^{\mu_e}(x) = U^{\mathbb{1}_{B_R}}(x) + U^{\rho \mathbb{1}_{\Omega}}(x), \quad x \in \partial B_a.$$

これより, Ω のポテンシャルを ∂B_a で観測することが可能である.

$$U^{\rho \mathbb{1}_{\Omega}}(x) = U^{\mu_e}(x) - U^{\mathbb{1}_{B_R}}(x), \quad x \in \partial B_a.$$



ポテンシャル逆問題

(測地学における) ポテンシャル逆問題¹ では, 観測面 ∂B_a 上で重力 g を観測し, 物体の形状 Ω を回復する. つまり, 境界条件

$$\nabla U^{\rho 1 \Omega} = \vec{g} \quad \text{on} \quad \partial B_a$$

をみたす Ω を求める.

——— 新たな設定 ———

ポテンシャルの減衰は重力に比べて弱いので,

$$U^{\rho 1 \Omega} = p \quad \text{on} \quad \partial B_a$$

を境界条件とする.

¹G.Anger, *Inverse Problems in Differential Equations*, Plenum Press, 1990.

離散化した境界条件

先ほどの問題設定における境界条件は

- 重力観測

$$\nabla U^{\rho\mathbb{1}\Omega} = \vec{g} \quad \text{on} \quad \partial B_a$$

- ポテンシャル観測

$$U^{\rho\mathbb{1}\Omega} = p \quad \text{on} \quad \partial B_a$$

だった. しかし, 実際には観測できるのは観測面 ∂B_a 上の有限個の地点 $\{A_n\}_{n=1}^N$ なので, 各 n に対し

- 重力観測

$$\nabla U^{\rho\mathbb{1}\Omega} = \vec{g}_n \quad \text{on} \quad A_n$$

- ポテンシャル観測

$$U^{\rho\mathbb{1}\Omega} = p_n \quad \text{on} \quad A_n$$

という離散化した境界条件を考えることにする.

数値計算概要 (1/2)

(離散版) 境界条件は次の通り.

- 重力観測

$$\nabla U^{\rho\mathbb{1}_\Omega} = \vec{g}_n \quad \text{on} \quad A_n$$

- ポテンシャル観測

$$U^{\rho\mathbb{1}_\Omega} = p_n \quad \text{on} \quad A_n$$

領域回復のアルゴリズムは次の2つのアルゴリズムから成る. 数値計算は主として Zidarov ² に倣う.

1. 観測点上の重力またはポテンシャルを有限個の質点で近似
2. バブリング法 (質量を均す)

²D.Zidarov, *Inverse Gravimetric Problem in Geoprospecting and Geodesy*, Elsevier, 1990.

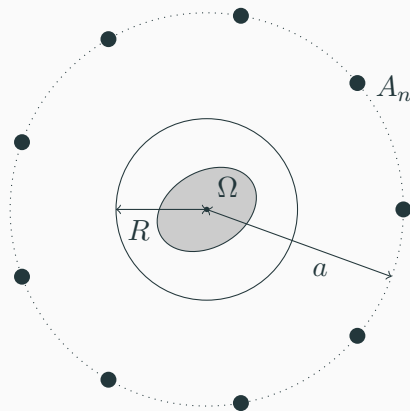


Figure 2: ポテンシャル逆問題の数値計算概要

観測した重力を有限個の質点で近似する

観測点を $\{A_n\}_{n=1}^N \subset \partial B_a$ とする.

質点の系を $(X, M) = (X_1, \dots, X_K, \dots, M_1, \dots, M_K)$ で表す. コスト関数 J_G を

$$J_G(X, M) = \frac{1}{N} \sum_{n=1}^N \left| \nabla U^{\rho \mathbb{1}_\Omega}(A_n) - G_K(A_n; X, M) \right|^2,$$

$$G_K(A_n; X, M) = \frac{1}{4\pi} \sum_{k=1}^K \frac{M_k(A_n - X_k)}{|A_n - X_k|^3}$$

として定め, J_G を (局所) 最小化する.

観測したポテンシャルを有限個の質点で近似する

観測点を $\{A_n\}_{n=1}^N \subset \partial B_a$ とする.

質点の系を $(X, M) = (X_1, \dots, X_K, \dots, M_1, \dots, M_K)$ で表す. コスト関数 J_P を

$$J_P(X, M) = \frac{1}{N} \sum_{n=1}^N (U^{\rho \mathbb{1}_\Omega}(A_n) - P_K(A_n; X, M))^2,$$

$$P_K(A_n; X, M) = \frac{1}{4\pi} \sum_{k=1}^K \frac{M_k}{|A_n - X_k|}$$

として定め, J_P を (局所) 最小化する.

観測面 ∂B_a 上等間隔に N 個の観測地点 $\{A_n\}_{n=1}^N$ をとる.

初期値とする質点は ∂B_a 上等間隔に K 個の初期地点 $\{X_k^{(0)}\}_{k=1}^K$ とし, 各質点の質量は $M_k^{(0)} = \rho\pi R^2/K$ とする.

Remark

人工衛星による重力の分解能は高々 10^{-5}m/s^2 であり, ³ 原子時計によるポテンシャル観測の分解能は高々 $10^{-4}\text{m}^2/\text{s}^2$ である. ⁴

³宮原伐折羅, 『国土地理院の重力観測の展望-測定技術と重力基準の将来像』, 国土地理院時報, 2018, No. 131, 95-108.

⁴野崎京三, 『原子時計をセンサーとした重力ポテンシャル計の可能性』, 応用地質技術年報, 2011, No. 30, 65-71.

数値計算 目標の確認

観測半径 a を変えたとき，最適化法+バブリング法による領域 Ω の形状回復への影響を調査する．

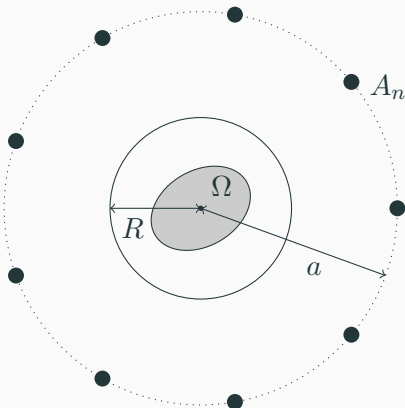
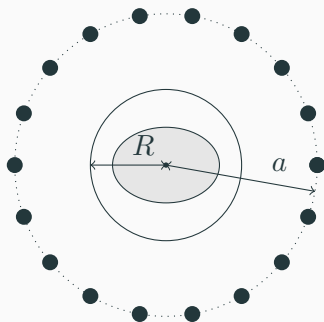


Figure 3: ポテンシャル逆問題の数値計算概要

数値計算例：楕円形のコアの回復

惑星の半径 $R = 2$ とする．長半径 $\sqrt{2}$, 短半径 1, 密度 $\rho = 10$ の楕円の回復を試みる．最適化には Levenberg-Marquardt 法を用いた．



数値計算例：楕円形のコアの回復 重力観測

質点の数 $K = 30$, 観測点数 $N = 90$ とする. a は観測半径である.

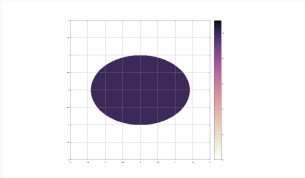


Figure 4: 厳密解

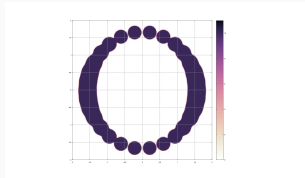


Figure 5: $a = 4$

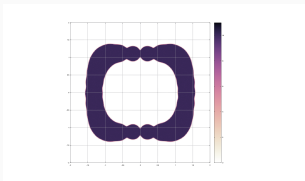


Figure 6: $a = 10$

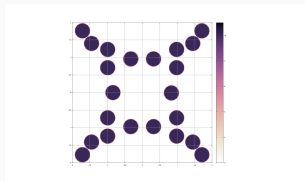


Figure 7: $a = 30$

数値計算例：楕円形のコアの回復 ポテンシャル観測

質点の数 $K = 30$, 観測点数 $N = 90$ とする. a は観測半径である.

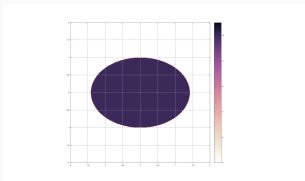


Figure 6: 厳密解

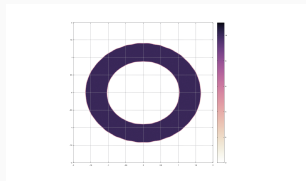


Figure 10: $a = 4$

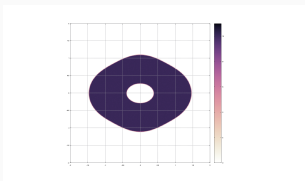


Figure 11: $a = 10$

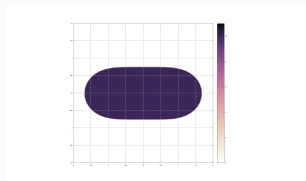








Figure 12: $a = 30$

ポテンシャル逆問題において、境界でポテンシャルを既知とする問題設定を行い、重力を既知とする場合と比較して数値計算を行った.

- 楕円形のコアの回復
重力観測と比べてポテンシャル観測の方がよりよい回復が望める.

-  G.Anger, *Inverse Problems in Differential Equations*, Plenum Press, 1990.
-  R.Kress, *Numerical Analysis*, Springer, 1998.
-  野崎京三, 『原子時計をセンサーとした重力ポテンシャル計の可能性』, 応用地質技術年報, 30 号 (2011), 65-71.
-  佐々木晶, 『惑星内部構造』, 地震, 61 巻特集号 (2009), 285-296.
-  L.Zalcman, Some Inverse Problems of Potential Theory, *Contemporary Mathematics*, Vol.63(1987), 337-339.
-  D.Zidarov, *Inverse Gravimetric Problem in Geoprospecting and Geodesy*, Elsevier, 1990.